

## К модели неголономного бильярда

**А. В. Борисов, А. А. Килин, И. С. Мамаев**

Институт компьютерных исследований,  
426034, г. Ижевск, ул. Университетская, 1  
borisov@rcd.ru, aka@rcd.ru, mamaev@rcd.ru

*Получено 2 июня 2010 г.*

В данной работе предложена новая модель неголономного бильярда, учитывающая собственное вращение шара. Данная модель получена с помощью предельного перехода от задачи о качении шара без проскальзывания по поверхности второго порядка. Проведено качественное исследование динамики неголономного бильярда между двумя параллельных стенок и внутри круга. С помощью построения трехмерного точечного отображения показана неинтегрируемость неголономного бильярда внутри эллипса.

Ключевые слова: бильярд, удар, точечное отображение, неинтегрируемость, периодическое решение, неголономная связь, интеграл движения

**A. V. Borisov, A. A. Kilin, I. S. Mamaev**  
**On the model of non-holonomic billiard**

In this paper we develop a new model of non-holonomic billiard that accounts for the intrinsic rotation of the billiard ball. This model is a limit case of the problem of rolling without slipping of a ball without slipping over a quadric surface. The billiards between two parallel walls and inside a circle are studied in detail. Using the three-dimensional-point-map technique, the non-integrability of the non-holonomic billiard within an ellipse is shown.

Keywords: billiard, impact, point mapping, nonintegrability, periodic solution, nonholonomic constraint, integral of motion

Mathematical Subject Classifications: 34D20, 70E40, 37J35

## 1. Введение

Игра в бильярд известна с древнейших времен и остается чрезвычайно популярной по сегодняшний день. Она издавна привлекает к себе внимание исследователей, математиков и механиков, пытающихся в той или иной степени описать закономерности отскока шаров и их необычное поведение, в том числе и для создания выигрышной техники игры. Множество усилий было потрачено на создание теории бильярдной игры, описывающей взаимодействие шаров друг с другом и со стенками. Однако данная задача является очень сложной и, к сожалению, до сих пор не существует единой теории, объясняющей все аспекты бильярдной игры.

Одним из первых систематически изучал теорию бильярдной игры Г. Кориолис, результаты которого изложены в его знаменитой книге «Математическая теория явлений бильярдной игры» [3]. Среди классических работ по теории бильярда следует отметить работу А. Резаля [12], в которой он дискутирует с Кориолисом по ряду дополнительных гипотез, необходимых для описания ударов шаров друг о друга либо о стенку, работу Аппеля [1] о движении бильярдного шара с учетом трения и систематическую книгу Хемминга [9].

Обоснование теории бильярдной игры и исследование присущих ей частных эффектов связано с изучением закономерностей общей теории удара. В настоящее время теория удара (см. книги [16, 18]) является отдельной дисциплиной и имеет ряд разделов, таких как стереомеханическая и волновая теория удара и др.; однако законченной теоретической модели удара на сегодняшний день не существует, и для того чтобы продвинуться в решении данного вопроса, как правило, вводят некоторые дополнительные гипотезы. Одной из классических и наиболее широко применяемых гипотез является гипотеза о коэффициенте восстановления, предложенная еще Ньютоном.

Не претендуя на полноту приведем некоторые теоретические работы по теории удара [8, 10, 11, 21, 22], а также отметим ряд экспериментальных исследований, описывающих как методику, так и результаты конкретных экспериментов по соударению различных тел [4–7, 24]. Кроме того, многие результаты также можно извлечь из практических пособий по игре в бильярд [23].

В данной статье мы развиваем несколько формальный подход к получению законов бильярда исходя из предельного перехода от некоторой более общей задачи [20]. Как известно, существует модель математического бильярда, или бильярда Биркгофа, которой посвящено множество работ (обзор можно найти, например, в [14, 17]). В данной модели рассматривается отражение материальной точки от некоторой плоской кривой по закону «угол падения равен углу отражения». Изначально данная модель была получена Биркгофом путем предельного перехода от задачи о движении материальной точки по эллипсоиду. Хотя данная модель и носит название бильярда, однако многих особенностей бильярдной игры она не охватывает, в частности, она не учитывает собственное вращение шара. Поэтому одной из целей написания данной работы являлось получение некоторого закона отражения, учитывающего собственное вращение шара. Отметим в этой связи работы [19, 20], где развивается модель удара, основанная на гипотезе «удара о связь», при которой скорость точки контакта при ударе меняет направление на обратное. Еще один подход, позволяющий учесть вращение шара и развиваемый нами в этой работе, основывается на методе Биркгофа получения бильярда с помощью предельного перехода. В качестве начальной задачи для такого перехода мы выбираем задачу о качении шара по поверхности без проскальзывания, которая была подробно изучена в [2]. Получающаяся при этом модель бильярда, которую мы называем неголономным бильярдом, наследует законы сохранения начальной

задачи. В частности, она является консервативной, а также сохраняет модуль нормальной составляющей скорости шара.

В данной работе мы, с одной стороны, докажем теоремы о предельном переходе и получим новую модель математического бильярда, а с другой стороны — опишем класс бильярдов, которые изоморфны новой модели и не противоречат известным физическим экспериментам. Тем самым мы постулируем более сложную, но более адекватную модель бильярда, учитывающую собственное вращение шара. Отметим также, что если изучение бильярда Биркгофа традиционно проводится с помощью построения двумерного точечного отображения, то полученная модель в общем случае описывается уже трехмерным точечным отображением, а в некоторых случаях (например, бильярд в эллипсе) существование дополнительных инвариантов позволяет понизить порядок системы и рассматривать двумерное точечное отображение на некоторой поверхности. Более подробное описание методики построения трехмерных отображений и отображений на поверхности в применении к неголономным динамическим системам можно найти в [2].

В заключение укажем на еще один аспект предлагаемой нами модели неголономного бильярда: эту модель можно также рассматривать как одну из возможных дискретизаций задачи о качении шара по поверхности без проскальзывания [13], причем в отличие от большинства других дискретизаций, популярных в последнее время и рассматриваемых, как правило, формально, без надлежащей механической (физической) реализации, предлагаемая нами модель несет в себе ясный физический смысл.

## 2. Неголономный бильярд в полосе

### 2.1. Предельный переход

Рассмотрим задачу о качении шара по цилиндру без проскальзывания. Уравнения движения для данной задачи можно записать в следующем виде [2]:

$$\begin{cases} \dot{\mathbf{v}} = -(\mathbf{v}, \dot{\boldsymbol{\gamma}})\boldsymbol{\gamma} + \alpha u \boldsymbol{\gamma} \times \boldsymbol{\gamma}, \\ \dot{u} = (\dot{\boldsymbol{\gamma}} \times \boldsymbol{\gamma}, \mathbf{v}), \\ \dot{\mathbf{x}} = \mathbf{v}. \end{cases} \quad (2.1)$$

Здесь  $\mathbf{x}$  и  $\mathbf{v}$  — координаты и скорости центра масс шара,  $u = R(\boldsymbol{\omega}, \boldsymbol{\gamma})$  — проекция угловой скорости шара (далее называемая спином) на нормаль к поверхности  $\boldsymbol{\gamma}$ , которая задается отображением Гаусса

$$\boldsymbol{\gamma} = -\frac{\nabla F(\mathbf{x})}{|\nabla F(\mathbf{x})|}, \quad (2.2)$$

где  $F(\mathbf{x})$  — уравнение поверхности, а  $\alpha = \frac{I}{I + mR^2}$  — постоянный коэффициент, зависящий от распределения масс в шаре и принимающий значения от 0 до 2/5. В рассматриваемом случае эллиптического цилиндра  $F(\mathbf{x}) = \frac{\dot{x}_1^2}{b_1^2} + \frac{\dot{x}_2^2}{b_2^2} - 1$ , где  $b_1, b_2$  — полуоси основания цилиндра, и уравнение (2.2) принимает вид

$$\boldsymbol{\gamma} = -\frac{\mathbf{Ax}}{|\mathbf{Ax}|}, \quad \mathbf{A} = \text{diag}(b_1^{-2}, b_2^{-2}, 0). \quad (2.3)$$

Уравнения (2.1) допускают следующие первые интегралы движения:

$$\begin{aligned} (\mathbf{x}, \mathbf{Ax}) &= 1, & (\mathbf{v}, \mathbf{Ax}) &= 0, \\ H_1 &= \frac{1}{2}(v_1^2 + v_2^2), & H_2 &= \frac{1}{2}(v_3^2 + \alpha u^2), \\ K &= \frac{(\mathbf{v}, \mathbf{Av})}{(\boldsymbol{\gamma}, \mathbf{B}\boldsymbol{\gamma})} b_2^2, & \text{где } \mathbf{B} &= \text{diag}(b_1^2, b_2^2, 0). \end{aligned} \quad (2.4)$$

Первые два интеграла являются геометрическими, интегралы  $H_1$  и  $H_2$  представляют собой две независимые части интеграла энергии  $H = H_1 + H_2$ , а интеграл  $K$  является дополнительным квадратичным независимым интегралом, наиболее общий вид которого был указан в [2].

Рассмотрим теперь предельный переход уравнений (2.1) при стремлении одной из полуосей основания цилиндра к нулю  $b_2 \rightarrow 0$ . При таком предельном переходе мы получаем задачу о качении шара без проскальзывания по обеим сторонам полосы, заключенной между двумя прямыми. Легко показать, что внутри полосы движение шара является равномерным и прямолинейным, спин  $u$  сохраняется. При подходе шара к границе происходит мгновенный перекаат шара на обратную сторону полосы. В проекции на плоскость данный процесс можно рассматривать как удар шара о стенку. Таким образом, мы получаем новую модель неголономного бильярда.

Рассмотрим теперь подробнее процесс предельного перехода и получаемый при этом закон удара. Оказывается справедлива следующая

**Теорема 1.** Пусть шар катится без проскальзывания по эллиптическому цилиндру, тогда при стремлении одной из полуосей основания цилиндра к нулю ( $b_2 \rightarrow 0$ ) получается задача о неголономном бильярде внутри плоской полосы со следующим законом отражения

$$\mathbf{V}^+ = \begin{pmatrix} -1 & 0 & 0 \\ 0 & \cos \sqrt{\alpha}\pi & -\sin \sqrt{\alpha}\pi \\ 0 & -\sin \sqrt{\alpha}\pi & -\cos \sqrt{\alpha}\pi \end{pmatrix} \mathbf{V}^-, \quad (2.5)$$

где  $\mathbf{V} = (v_n, v_\tau, \sqrt{\alpha}u_a)$ .

*Доказательство.*

Получим сначала закон отражения для нормальной составляющей скорости  $\mathbf{v}$ . Для этого введем переменную  $\theta$

$$x_1 = b_1 \cos \theta, \quad x_2 = b_2 \sin \theta. \quad (2.6)$$

Подставив (2.6) в выражение для интеграла  $K$  с учетом геометрической связи  $(\mathbf{v}, \mathbf{Ax}) = 0$ , получим

$$K = (b_1^2 \sin^2 \theta + b_2^2 \cos^2 \theta) \frac{v_1^2}{b_1^4 \sin^2 \theta}. \quad (2.7)$$

При предельном переходе  $b_2 \rightarrow 0$  получим  $K = \frac{v_1^2}{b_1^2}$ . Таким образом, в момент удара из условий сохранения интеграла  $K$  следует, что модуль нормальной скорости шара сохраняется, т. е.

$$v_1^+ = -v_1^-, \quad |v_1^\pm| = b_1 \sqrt{K}. \quad (2.8)$$

Для определения закона отражения по переменным  $u$  и  $v_3$  введем переменную  $\varphi$  следующим образом

$$v_3 = \sqrt{2H_2} \cos \varphi, \quad u = \sqrt{\frac{2H_2}{\alpha}} \sin \varphi. \quad (2.9)$$

Выбрав в качестве нового времени переменную  $\theta$ , запишем уравнение эволюции  $\varphi$ :

$$\frac{d\varphi}{d\theta} = -\frac{\sqrt{\alpha} b_1 b_2}{b_1^2 \sin^2 \theta + b_2^2 \cos^2 \theta}. \quad (2.10)$$

Сделаем замену  $x = b_1 \operatorname{tg} \theta$  и используя представление  $\delta$ -функции

$$\delta(x) = \lim_{b_2 \rightarrow 0} \frac{b_2}{\pi(x^2 + b_2^2)}, \quad (2.11)$$

получим в пределе  $b_2 \rightarrow 0$

$$\frac{d\varphi}{dx} = -\sqrt{\alpha} \pi \delta(x). \quad (2.12)$$

Сделаем обратную замену, получим

$$\dot{\varphi} = -s\sqrt{\alpha} \pi \delta(t - t_0), \quad (2.13)$$

где  $t_0$  — момент удара о стенку, а  $s = \operatorname{sign}(\dot{\theta})$  определяет направление качения шара по цилиндру и является постоянным для каждой выбранной траектории. Из (2.13) следует закон отражения для  $\varphi$ :

$$\varphi^+ = \varphi^- - s\pi\sqrt{\alpha}. \quad (2.14)$$

Сделаем обратную к (2.9) замену и введя переменную  $\tilde{u} = \sqrt{\alpha}u$ , получим закон отражения

$$\mathbf{V}^+ = \begin{pmatrix} -1 & 0 & 0 \\ 0 & \cos \sqrt{\alpha}\pi & s \sin \sqrt{\alpha}\pi \\ 0 & -s \sin \sqrt{\alpha}\pi & \cos \sqrt{\alpha}\pi \end{pmatrix} \mathbf{V}^-, \quad (2.15)$$

где  $\mathbf{V} = (v_1, v_3, \tilde{u})$ .

Заметим, что закон (2.15) записан в проекциях на абсолютные оси  $x_1, x_2$  и вектор нормали  $\gamma$ . Однако при ударе о стенку вектор  $\gamma$  меняет направление на обратное. Поэтому вместо проекции  $u$  угловой скорости на вектор  $\gamma$  необходимо рассматривать проекцию  $u_a$  угловой скорости на некоторый постоянный вектор  $\mathbf{a} \parallel \gamma$ . Связь между  $u_a$  и  $u$  задается соотношением

$$u_a = \begin{cases} u, & \theta > 0, \\ -u, & \theta < 0. \end{cases} \quad (2.16)$$

Кроме того, закон удара традиционно записывают в проекциях на локальные оси координат, задающих нормальную и тангенциальную составляющую скорости в точке удара. Эти проекции связаны с проекциями на оси абсолютной системы координат следующими соотношениями:

$$v_n = \begin{cases} v_1, & \theta = 0, \\ -v_1, & \theta = \pi, \end{cases} \quad (2.17)$$

$$v_\tau = \begin{cases} v_3, & \theta = 0, \\ -v_3, & \theta = \pi. \end{cases}$$

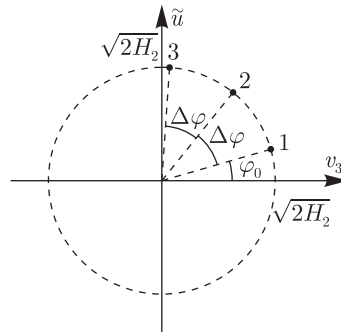


Рис. 1

В указанных проекциях закон отражения принимает вид

$$\mathbf{V}^+ = \begin{pmatrix} -1 & 0 & 0 \\ 0 & \cos \sqrt{\alpha}\pi & -\sin \sqrt{\alpha}\pi \\ 0 & -\sin \sqrt{\alpha}\pi & -\cos \sqrt{\alpha}\pi \end{pmatrix} \mathbf{V}^-, \quad (2.18)$$

где  $\mathbf{V} = (v_n, v_\tau, \sqrt{\alpha}u_a)$ . □

## 2.2. Анализ динамики

Рассмотрим свойства закона отражения (2.18) на примере полученной предельной задачи о бильярде в полосе. В данном случае проще привести анализ в проекциях на абсолютные оси  $v_1, v_3$ , поэтому будем рассматривать закон отражения в виде (2.15). Нетрудно заметить, что на плоскости  $(v_3, \tilde{u})$  закон отражения (2.15) представляет собой обыкновенный поворот на угол  $\Delta\varphi = \sqrt{\alpha}\pi$  (см. рис. 1).

Таким образом, при последовательных отражениях от стенок соответствующие точки на плоскости  $(v_3, \tilde{u})$  будут ложиться через равные промежутки  $\Delta\varphi = \sqrt{\alpha}\pi$  на окружность, задаваемую интегралом  $H_2 = \frac{1}{2}(v_3^2 + \tilde{u})$  (см. рис. 1). Используя данное свойство, можно доказать следующую теорему, аналогичную теореме об отсутствии вертикального ухода при качении шара по цилиндру (задача Штюблера).

**Теорема 2.** *Неголономный бильярд в полосе является ограниченным, а максимальный уход вдоль полосы определяется выражением*

$$\Delta z_{\max} = \sqrt{\frac{2H_2}{K}} \frac{2}{\sin \frac{\sqrt{\alpha}\pi}{2}}.$$

*Доказательство.*

Обозначим через  $v_3^{(n)}$  значение скорости вдоль полосы на  $n$ -ом шаге. Из закона удара нетрудно получить явное выражение

$$v_3^{(n)} = \sqrt{2H_2} \cos(\varphi_0 + n\sqrt{\alpha}\pi), \quad (2.19)$$

где  $\varphi_0$  и  $H_2$  задают неголономную скорость  $v_3$  и спин  $u$  с помощью (2.9).

Ограниченность движения шара вдоль полосы следует из отсутствия нулевой моды (независящего от  $n$  слагаемого) при разложении  $v_3^{(n)}$  в ряд Фурье. Оценим теперь максимально возможный уход траектории вдоль полосы.



Время между ударами о противоположные стенки является постоянным и определяется формулой

$$t = \frac{2b_1}{|v_1|} = \frac{2}{\sqrt{K}}. \quad (2.20)$$

Общее смещение вдоль полосы за  $N$  ударов можно записать как

$$z_N = \frac{2\sqrt{2H_2}}{\sqrt{K}} \sum_{n=0}^{N-1} \cos(\varphi_0 + n\sqrt{\alpha}\pi) = \sqrt{\frac{2H_2}{K}} \frac{\sin(\varphi_0 + \sqrt{\alpha}\pi(N - \frac{1}{2})) - \sin(\varphi_0 - \frac{\sqrt{\alpha}\pi}{2})}{\sin \frac{\sqrt{\alpha}\pi}{2}}. \quad (2.21)$$

Из (2.21) следует, что максимальный уход шара вдоль полосы равен

$$\Delta z_{\max} = z_{\max} - z_{\min} = \sqrt{\frac{2H_2}{K}} \frac{2}{\sin \frac{\sqrt{\alpha}\pi}{2}}.$$

□

### 3. Неголономный бильярд в круге

Рассмотрим аналогичный предельный переход в задаче о качении шара без проскальзывания по эллипсоиду вращения. При этом в пределе мы получим задачу о бильярде внутри круга. Исходные уравнения движения шара по эллипсоиду совпадают с уравнением (2.1), однако уравнение поверхности теперь имеет вид

$$F(\mathbf{x}) = \frac{x_1^2}{R^2} + \frac{x_2^2}{R^2} + \frac{x_3^2}{b^2} - 1. \quad (3.1)$$

При этом выражение (2.3) для вектора нормали  $\gamma$  и первые два интеграла (2.4) сохраняются с точностью до замены  $\mathbf{A} = \text{diag}(R^{-2}, R^{-2}, b^{-2})$ .

Ввиду цилиндрической симметрии предельной задачи наиболее удобными переменными для исследования являются проекции скорости шара на орты цилиндрической системы координат

$$v_n = \frac{v_1x_1 + v_2x_2}{\sqrt{x_1^2 + x_2^2}}, \quad v_\tau = \frac{v_1x_2 - v_2x_1}{\sqrt{x_1^2 + x_2^2}}, \quad v_3 \quad (3.2)$$

и сферические координаты

$$\mathbf{x} = (R \cos \theta \cos \varphi, R \cos \theta \sin \varphi, b \sin \theta). \quad (3.3)$$

В данных переменных первый из интегралов (2.4) сохраняется автоматически, а второй приводит к простому соотношению

$$v_3 = -\delta \text{ctg } \theta v_n, \quad (3.4)$$

где введено обозначение  $\delta = b/R$ .

Уравнения движения в переменных  $v_n, v_\tau, u, \theta, \varphi$  имеют вид

$$\begin{cases} \dot{v}_n = \frac{\sin^2 \theta v_\tau^2}{R \cos \theta (\sin^2 \theta + \delta^2 \cos^2 \theta)} + \frac{\alpha \delta \sin \theta v_\tau u}{R (\sin^2 \theta + \delta^2 \cos^2 \theta)} - \frac{\delta^2 \cos \theta v_n^2}{R \sin^2 \theta (\sin^2 \theta + \delta^2 \cos^2 \theta)}, \\ \dot{v}_\tau = -\frac{v_n v_\tau}{R \cos \theta} - \frac{\alpha \delta u v_n}{R \sin \theta (\sin^2 \theta + \delta^2 \cos^2 \theta)}, \\ \dot{u} = \frac{\delta(1 - \delta^2) \cos^2 \theta v_n v_\tau}{R \sin \theta (\sin^2 \theta + \delta^2 \cos^2 \theta)}, \quad \dot{\theta} = -\frac{v_n}{R \sin \theta}, \quad \dot{\varphi} = -\frac{v_\tau}{R \cos \theta}. \end{cases} \quad (3.5)$$

Уравнения (3.5) допускают два первых интеграла движения

$$\begin{aligned} H &= \frac{1}{2}(v_n^2 + v_\tau^2 + v_\theta^2 + \alpha u^2), \\ K &= (1 + \delta^2 \operatorname{ctg}^2 \theta)(v_n^2 + v_\tau^2 \sin^2 \theta). \end{aligned} \quad (3.6)$$

Так же, как и выше, из условий сохранения  $K$  после предельного перехода получаем

$$v_n^+ = -v_n^-. \quad (3.7)$$

Для определения закона отражения по другим переменным выберем  $\theta$  в качестве нового времени и запишем уравнения движения для  $v_\tau$  и  $u$

$$\begin{cases} v'_\tau = \operatorname{tg} \theta v_\tau + \frac{\alpha \delta}{\sin^2 \theta + \delta^2 \cos^2 \theta} u, \\ u' = -\frac{\delta(1 - \delta^2) \cos^2 \theta}{\sin^2 \theta + \delta^2 \cos^2 \theta} v_\tau, \end{cases} \quad (3.8)$$

здесь штрих обозначает дифференцирование по  $\theta$ . Уравнения (3.8) допускают первый интеграл движения

$$\mathcal{J}^2 = \frac{2H - K}{1 - \delta^2} = v_\tau^2 \cos^2 \theta + \frac{\alpha}{1 - \delta^2} u^2. \quad (3.9)$$

Используя этот интеграл, сведем систему (3.8) к одному дифференциальному уравнению с помощью следующей замены переменных:

$$u_\tau = \frac{\mathcal{J}}{\cos \theta} \cos \psi, \quad u = \frac{\mathcal{J} \sqrt{1 - \delta^2}}{\sqrt{\alpha}} \sin \psi. \quad (3.10)$$

Дифференциальное уравнение для  $\psi$  при этом имеет вид

$$\psi' = -\sqrt{\alpha} \frac{\delta \sqrt{1 - \delta^2} \cos \theta}{\sin^2 \theta + \delta^2 \cos^2 \theta}. \quad (3.11)$$

Используя замену  $z = \sin \theta$ ,  $\varepsilon = \frac{\delta}{\sqrt{1 - \delta^2}}$  и представление  $\delta$ -функции (2.11), в пределе  $\delta \rightarrow 0$  ( $\varepsilon \rightarrow 0$ ) получим

$$\frac{d\psi}{dz} = -\sqrt{\alpha} \pi \delta(z) \quad (3.12)$$

или, после обратной замены,

$$\dot{\psi} = -\sqrt{\alpha} \pi s \delta(t - t_0), \quad (3.13)$$

где  $s = \operatorname{sign}(\dot{\theta})$ ,  $s = -1$  при переходе с верхней полусферы ( $\theta > 0$ ) на нижнюю ( $\theta < 0$ ) и  $s = 1$  в случае обратного перехода. Проинтегрировав уравнение (3.13) и сделав преобразование, обратное к (3.10), получим закон удара, совпадающий с (2.15). Так же, как и в случае бильярда в полосе, теперь необходимо перейти к проекции  $u_a$  угловой скорости на постоянный вектор. После такого перехода получим закон удара, полностью совпадающий с (2.5). Таким образом, мы доказали следующую теорему.



**Теорема 3.** Пусть шар катится без проскальзывания по эллипсоиду вращения, задаваемому уравнением (3.1), тогда при стремлении третьей полуоси к нулю ( $b \rightarrow 0$ ) получим задачу о неголономном бильярде внутри круга с законом отражения (2.5).

### 3.1. Построение трехмерного отображения

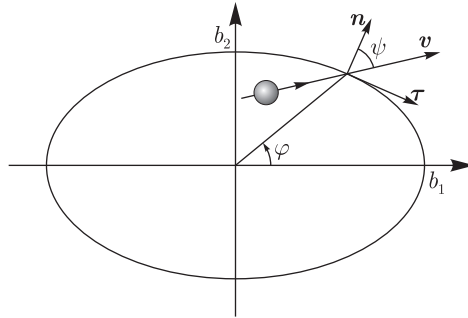


Рис. 2

Классическая задача о математическом бильярде традиционно исследуется с помощью двумерного точечного отображения. Добавление спина при рассмотрении бильярда влечет за собой увеличение размерности соответствующего отображения на единицу. Таким образом, для исследования динамики неголономного бильярда с законом отражения (2.18), в отличие от классического бильярда, необходимо рассмотрение трехмерного точечного отображения. В качестве примера построим такое отображение для неголономного бильярда в эллипсе. Выберем в качестве переменных отображения  $\varphi \in [0, \pi]$  — угловую координату точки удара,  $\psi \in [-\pi/2, \pi/2]$  — угол между скоростью падения шара и нормалью к границе эллипса в точке удара (рис. 2), и спин  $u_a$ .

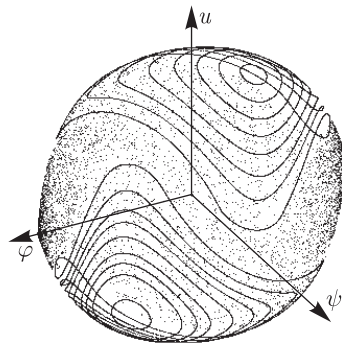


Рис. 3

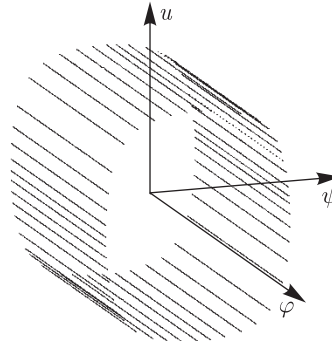


Рис. 4

При заданном значении интеграла энергии компоненты скорости падения имеют вид

$$\begin{aligned} v_n^- &= \sqrt{2H - \alpha u_a^2} \cos \psi, \\ v_\tau^- &= \sqrt{2H - \alpha u_a^2} \sin \psi. \end{aligned} \tag{3.14}$$

Таким образом, координаты  $(\varphi, \psi, u_a)$  и значение интеграла  $H$  однозначно задают начальные условия траектории. В рассматриваемом случае бильярда в эллипсе существует допол-

нительный интеграл

$$K = \frac{(b_1^2 \sin^2 \varphi + b_2^2 \cos^2 \varphi) v_n^2}{b_1^2 b_2^2} \quad (3.15)$$

благодаря чему все точки отображения лежат на поверхности

$$\frac{b_1^2 \sin^2 \varphi + b_2^2 \cos^2 \varphi}{b_1^2 b_2^2} (2H - \alpha u_a^2) \cos^2 \psi = K. \quad (3.16)$$

Пример такого отображения приведен на рис. 3. Как видно из рисунка, получившееся отображение содержит хаотический слой, что говорит о неинтегрируемости неголономного бильярда в эллипсе.

В случае бильярда в круге ситуация упрощается. Интеграл  $K$  перестает зависеть от  $\varphi$ . Кроме того, нетрудно показать, что для круга выполняется тождество  $V_k^+ = V_{k-2}^+$ , где  $k$  — номер итерации. Следовательно, все точки отдельной траектории попеременно ложатся на две параллельные прямые  $u_a = \text{const}$ ,  $\psi = \text{const}$ , причем значения  $u$  и  $\psi$  связаны соотношением

$$(2H - \alpha u_a^2) \cos^2 \psi = R^2 K.$$

На рис. 4 приведен пример соответствующего трехмерного отображения, иллюстрирующий указанные свойства бильярда.

#### 4. Аксиоматический подход

Полученная модель неголономного бильярда (2.5) не может корректно описать ряд эффектов, наблюдаемых в реальных бильярдах, поэтому построим общую неголономную модель удара, основываясь на законах сохранения и эффектах, наблюдаемых в реальных бильярдах.

Рассмотрим неголономный закон удара как некоторое произвольное преобразование скоростей, сохраняющее интегралы

$$\begin{aligned} H &= \frac{1}{2}(v_n^2 + v_\tau^2 + \alpha u^2), \\ K &= v_n^2. \end{aligned} \quad (4.1)$$

Наиболее общий закон удара, сохраняющий данные интегралы, имеет вид

$$V^+ = \begin{pmatrix} -1 & 0 & 0 \\ 0 & & A \\ 0 & & \end{pmatrix} V^-, \quad (4.2)$$

где  $V = (v_n, v_\tau, \sqrt{\alpha}u)$ , а  $A$  — матрица, включающая в себя произвольный поворот и всевозможные отражения. Угол поворота в рассмотренной неголономной постановке определяется из предельного перехода (см. п. 2) и равен  $\sqrt{\alpha}\pi$ . Таким образом, наиболее общий вид матрицы  $A$  —

$$A = \begin{pmatrix} s_1 s_3 \cos \sqrt{\alpha}\pi & s_2 s_3 \sin \sqrt{\alpha}\pi \\ -s_1 s_4 \sin \sqrt{\alpha}\pi & s_2 s_4 \cos \sqrt{\alpha}\pi \end{pmatrix}, \quad (4.3)$$

где  $s_1, \dots, s_4$  принимают значения  $\pm 1$ .

Рассмотрим теперь вопрос о том, при каких значениях  $s_i$  неголономная модель удара будет наиболее близко описывать поведение реальных бильярдов. Для этого рассмотрим ряд примеров отражения шара от стенки.

1. Удар эффе (рис. 5)

Начальные и конечные значения скоростей при данном ударе удовлетворяют условиям

$$v_{\tau}^{-} = 0, \quad u^{-} > 0, \quad v_{\tau}^{+} > 0, \quad u^{+} > 0.$$

Для того чтобы модель (4.3) правильно описывала данный удар в случае однородного шара  $I = \frac{2}{5}me^2$  ( $\alpha = \frac{2}{7}$ ), необходимо потребовать выполнения равенств  $s_2 \cdot s_4 = -1$  и  $s_2 \cdot s_3 = 1$ .

2. Удар без закручивания (рис. 6)

Начальные и конечные значения скоростей удовлетворяют условиям

$$u^{-} = 0, \quad v_{\tau}^{-} > 0, \quad u^{+} > 0, \quad v_{\tau}^{+} > 0.$$

Для описания данного удара с помощью рассматриваемой модели необходимо потребовать выполнения равенств  $s_1s_4 = -1$ ,  $s_1s_3 = -1$ .

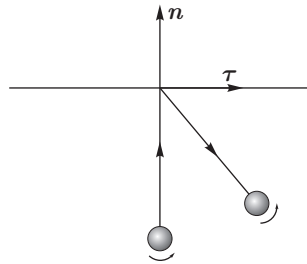


Рис. 5

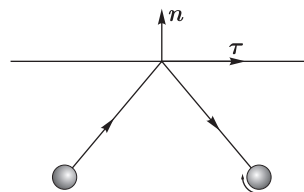


Рис. 6

Нетрудно показать, что все четыре условия выполнить одновременно невозможно. Таким образом, построенная модель может описывать лишь часть наблюдаемых эффектов бильярдной игры. Приведем здесь закон неголономного удара, правильно описывающий удар эффе и дающий правильное направление вращения шара после удара без закручивания

$$V^{+} = \begin{pmatrix} -1 & 0 & 0 \\ 0 & \cos \sqrt{\alpha}\pi & \sin \sqrt{\alpha}\pi \\ 0 & \sin \sqrt{\alpha}\pi & -\cos \sqrt{\alpha}\pi \end{pmatrix} V^{-}. \tag{4.4}$$

Отметим, что закон (4.4) применим только для распределений масс, при которых  $\cos(\sqrt{\alpha}\pi) < 0$ , т.е.  $\alpha > 1/4$  (сюда, в частности, входит и однородный шар). Для распределений с  $\alpha < 1/4$  соответствующий закон будет иметь вид

$$V^{+} = \begin{pmatrix} -1 & 0 & 0 \\ 0 & -\cos \sqrt{\alpha}\pi & \sin \sqrt{\alpha}\pi \\ 0 & \sin \sqrt{\alpha}\pi & \cos \sqrt{\alpha}\pi \end{pmatrix} V^{-}. \tag{4.5}$$

Законы (4.4), (4.5) и (2.5) совпадают, с точностью до отражений, относительно некоторых осей; следовательно, результаты о неинтегрируемости, полученные в п. 3, остаются справедливыми и для (4.4), (4.5).

В заключение отметим, что интересно было бы исследовать периодические решения неголономного бильярда в эллипсе и их устойчивость, а также изучить вопросы об интегрируемости неголономных бильярдов в многоугольниках [15, 20]. В качестве смежных задач, напрямую не связанных с описанной выше моделью бильярда, но обобщающих модель математического бильярда, укажем также ряд задач об отскоках твердого тела от гладкой (либо абсолютно шероховатой) плоскости, в которых также возникают точечные отображения и которые было бы интересно исследовать на интегрируемость, наличие периодических решений и их устойчивость.

Авторы выражают признательность за полезные замечания А. П. Иванову и А. П. Маркееву, с которыми мы неоднократно имели дискуссии на семинарах в ИКИ в г. Ижевске, а также В. Драговичу за полезные обсуждения. Работа выполнена в рамках ФЦП «Научные и научно-педагогические кадры инновационной России» на 2009–2013 гг. (код проекта 2009-1.1-111-048-011). Работа А. А. Килина выполнена в рамках гранта Президента РФ для поддержки молодых российских ученых — кандидатов наук (код проекта МК-8428.2010.1).

## Список литературы

- [1] Appell P. Sur le mouvement d'une bille de billard avec frottement de roulement // J. Math. Pures Appl., Sér. 6, 1911, vol. 7, pp. 85–96.
- [2] Borisov A. V., Mamaev I. S., Kilin A. A. The rolling motion of a ball on a surface: New integrals and hierarchy of dynamics // Regul. Chaotic Dyn., 2002, vol. 7, no. 2, pp. 201–219.
- [3] Coriolis G.-G. Théorie mathématique des effets du jeu billard. Paris: Carilian-Goeury, 1835. 174 p. [Кориолис Г. Математическая теория явлений бильярдной игры. М.: Гостехтеориздат, 1956. 236 с.]
- [4] Cross R. Grip-slip behavior of a bouncing ball // Am. J. Phys., 2002, vol. 70, no. 11, pp. 1093–1102.
- [5] Chatterjee, A. Rigid Body Collisions: Some General Considerations, New Collision Laws, and Some Experimental Data // Ph.D. Thesis, Jan 1997.
- [6] Bayes J.H., Scott W. Billiard-ball collision experiment // Am. Jour. Physics, 1963, 3(31), pp. 197–200.
- [7] Derby N., Fuller R. Reality and theory in a collision // The Physics Teacher, 1999, vol. 37, no. 1, pp. 24–27.
- [8] Glocker Ch. On frictionless impact models in rigid-body systems: Non-smooth mechanics // R. Soc. Lond. Philos. Trans. Ser. A Math. Phys. Eng. Sci., 2001, vol. 359, no. 1789, pp. 2385–2404.
- [9] Hemming G. W. Billiards mathematically treated. London: Macmillan, 1904. 61 p.
- [10] Horák Z. Théorie générale du choc dans les systèmes matériels // J. École Polytech., Sér. 2, 1931, vol. 28, pp. 15–64.
- [11] Horák Z., Pacáková I. The theory of the spinning impact of imperfectly elastic bodies // Czechoslovak. J. Phys. B, 1961, vol. 11, pp. 46–65.
- [12] Resal H. Commentaire à la théorie mathématique du jeu de billard // J. Math. Pures Appl., Sér. 3, 1883, vol. 9, pp. 65–98 [Резаль А. Комментарии к математической теории явлений бильярдной игры // Нелинейная динамика, 2010, т. 6, № 2, с. 415–438].
- [13] Suris Yu. B. The problem of integrable discretization: Hamiltonian approach. (Progr. Math., vol. 219.) Boston: Birkhäuser, 2003. 1070 p.
- [14] Tabachnikov, S. Geometry and Billiards. (Student Mathematical Library, vol. 30.) Providence, RI: AMS, 2005. 176 p.



- [15] Воробец Я. Б., Гальперин Г. А., Степин А. М. Периодические бильярдные траектории в многоугольниках: механизмы рождения // УМН, 1992, т. 47, вып. 3, с. 9–74.
- [16] Гольдсмит В. Удар: Теория и физические свойства соударяемых тел. М.: Стройиздат, 1965. 448 с.
- [17] Драгович В., Раднович М. Интегрируемые бильярды, квадрики и многомерные поризмы Понселе. М.–Ижевск: НИЦ РХД, ИКИ, 2010. 310 с.
- [18] Иванов А. П. Динамика систем с механическими соударениями. М.: Международная программа образования, 1997. 336 с.
- [19] Иванов А. П. Об уравнениях движения неголономной системы с неударяющей связью // ПММ, 1985, т. 49, вып. 5, с. 717–723.
- [20] Козлов В. В., Трещев Д. В. Бильярды: Генетическое введение в динамику систем с ударами. М.: МГУ, 1991. 168 с.
- [21] Маркеев А. П. Динамика твердого тела при наличии его соударений с твердой поверхностью // Нелинейная динамика, 2008, т. 4, №1, с. 1–38.
- [22] Нагаев Р. Ф., Холодилин Н. А. О теории соударений бильярдных шаров // Изв. РАН Мех. тв. тела, 1992, vol. 27, no. 6, pp. 48–55.
- [23] Хубер А. Играем в бильярд. М.: Белый город, 2009. 128 с. [Huber A. Richtig Billard. München: BLV, 2007. 128 S.]
- [24] Wallace R. E., Schroeder M. C. Analysis of billiard ball collisions in two dimensions // Am. J. Phys., 1988, vol. 56, no. 9, pp. 815–819.